

一氧化氮合成酶检测试剂盒(荧光法)

产品编号	产品名称	包装
S0025	一氧化氮合成酶检测试剂盒(荧光法)	100次

产品简介:

- 一氧化氮合成酶检测试剂盒(Nitric Oxide Synthase Assay Kit)可以检测活细胞内总的一氧化氮合成酶的活性。如果和特异性的一氧化氮合成酶抑制剂配合使用,也可以检测不同类型的一氧化氮合成酶的活性。
- 本试剂盒提供了一种在生理条件下通过荧光检测活细胞内一氧化氮合成酶活性的方法,不需要使用传统方法所需的放射性同位素。本试剂盒采用了可以穿透细胞膜的新一代一氧化氮荧光检测探针 DAF-FM DA (3-amino,4-aminomethyl-2'7'-difluorescein, diacetate),在提供充足的底物的条件下检测细胞内的一氧化氮合成酶可以催化产生的一氧化氮量,从而检测出一氧化氮合成酶的活性。详细的检测原理参考图1。采用一些一氧化氮合成酶的抑制剂则可以测定出特定类型的一氧化氮合成酶的活性。例如,采用 iNOS 抑制剂,未加 iNOS 抑制剂测定出来的酶活力减去加了 iNOS 抑制剂测定出来的酶活力就是 iNOS 的酶活力。

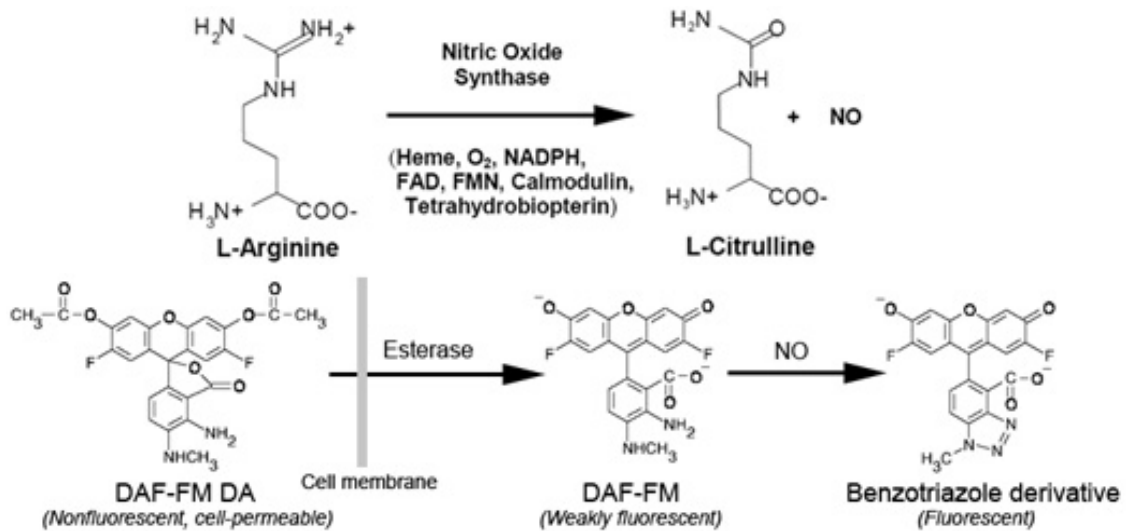


图 1. 一氧化氮合成酶检测试剂盒原理图

- 本试剂盒是目前为止世界上最先进的一种一氧化氮合成酶检测试剂盒。和Calbiochem等多年前就开始提供的一氧化氮合成酶检测试剂盒相比无需使用同位素,和Sigma等最近推出的基于荧光的一氧化氮合成酶检测试剂盒相比采用了新一代的荧光探针,灵敏度更高,特异性更好。本试剂盒的缺点是和其它荧光法一氧化氮合成酶检测试剂盒一样,仅能提供一氧化氮合成酶的相对活性。
- 本试剂盒和检测细胞内一氧化氮水平的不同之处在于提供了充足的底物L-Arginine和一些可以穿透细胞膜的反应辅助因子,确保一氧化氮合成酶的催化的一氧化氮合成不会受底物的量或辅助因子的量的限制,从而可以测定出细胞内一氧化氮合成酶活力。
- 本试剂盒最适合用于贴壁的细胞或组织的一氧化氮合成酶的检测,对悬浮细胞也可以进行检测。
- 本试剂盒可以测定100个样品。

包装清单:

产品编号	产品名称	包装
S0025-1	NOS检测缓冲液(2X)	15ml
S0025-2	精氨酸溶液	600μl
S0025-3	NADPH	2.3mg
S0025-4	DAF-FM DA(5mM)	20μl
—	说明书	1份

保存条件:

-20°C保存, DAF-FM DA需避光保存, 半年有效。

注意事项:

- RPMI 1640等含有较高浓度硝酸盐的培养液容易对本试剂盒的检测产生干扰, 请尽量避免。
- 由于检测过程中有还原反应, 凡是影响还原反应的氧化或还原试剂要注意避免, 例如常用的还原剂DTT和巯基乙醇。
- DAF-FM DA在4°C、冰浴等较低温度情况下会凝固而粘在离心管管底、管壁或管盖内, 可以20-25°C水浴温育片刻至全部融解后使用。
- 本产品仅限于专业人员的科学研究用, 不得用于临床诊断或治疗, 不得用于食品或药品, 不得存放于普通住宅内。
- 为了您的安全和健康, 请穿实验服并戴一次性手套操作。

使用说明:

1. 细胞或组织培养:

把待检测的细胞或组织培养到96孔板内, 通常以培养16-24小时后细胞为80-90%满为宜。可以留至少一个孔作为没有细胞的空白对照。

2. 试剂的准备:

NADPH溶液的配制: 加入1ml Milli-Q级纯水, 充分溶解并混匀, 配制成2.5mM的NADPH溶液。分装成小管, 当日不使用的立即-70°C冻存。取适量2.5mM NADPH, 用NOS检测缓冲液稀释成0.1mM NADPH。

NOS检测缓冲液的配制: 取适量NOS检测缓冲液(2X), 加入等量Milli-Q级纯水, 混匀即成NOS检测缓冲液。

检测反应液的配制: 检测反应液参考下表配制, 即1个反应就配制100微升, 10个反应就配制1毫升。

	1个反应	10个反应	20个反应
NOS检测缓冲液(2X)	50微升	500微升	1毫升
Milli-Q级纯水	39.8微升	398微升	796微升
精氨酸溶液	5微升	50微升	100微升
0.1mM NADPH	5微升	50微升	100微升
DAF-FM DA	0.2微升	2微升	4微升
检测反应液总体积	100微升	1毫升	2毫升

参考上表依次加入各种试剂, 混匀后即检测反应液。注意: DAF-FM DA较易下沉, 配制时一定要把DAF-FM DA混匀。

3. 样品的检测:

细胞或组织内一氧化氮合成酶的活性检测有如下两种方法:

a. 边刺激边测定。对于短时间药物等刺激(通常2小时以内)可以显著提高一氧化氮合成酶活性的情况可以使用本方法。

➢ 吸尽培养液, 加入100微升NOS检测缓冲液。如果是悬浮细胞, 可以将96孔板离心后吸去上清, 或将生长良好的细胞直接从培养的器皿中离心收集后按照适当密度用NOS检测缓冲液重悬后, 按照每孔100微升均匀加入到96孔板中。

➢ 再加入100微升检测反应液, 轻轻混匀。

➢ 37°C细胞培养箱内孵育20-120分钟。具体孵育时间因不同的刺激和不同的细胞而不同, 需自行摸索。对于经典的LPS和 γ -IFN共同刺激RAW 264.7细胞, 诱导一氧化氮合成酶活力的提高, 孵育120分钟后检测, 可以观察到刺激前后总的一氧化氮合成酶活力提高6-10倍。

➢ 直接取该96孔板用荧光酶标仪检测。以没有细胞的孔为空白对照, 激发波长为495nm, 发射波长为515nm。用激光共聚焦显微镜或流式细胞仪也可以进行检测。

b. 先刺激后测定。对于需长时间刺激(通常6小时以上)才可以显著提高一氧化氮合成酶活性的情况可以使用本方法。

➢ 细胞或组织刺激后, 吸尽培养液, 加入100微升NOS检测缓冲液。如果是悬浮细胞, 可以将96孔板离心后吸去上清, 再加入100微升NOS检测缓冲液。

➢ 再加入100微升检测反应液, 轻轻混匀。

➢ 37°C细胞培养箱内孵育20-60分钟。具体孵育时间因不同的刺激和不同的细胞而不同, 需自行摸索。

➢ 直接取该96孔板用荧光酶标仪检测。以没有细胞的孔为空白对照, 激发波长为495nm, 发射波长为515nm。由于波长的设置和FITC检测时的波长设置非常接近, 可以直接使用FITC的设置。用激光共聚焦显微镜或流式细胞仪也可以进行检测。

4. 样品中特定的一氧化氮合成酶的检测(本步骤可以和上述步骤3同时进行):

➢ 无论是边刺激边测定还是先刺激后测定, 吸尽培养液后加入100微升含有适当浓度的特定一氧化氮合成酶抑制剂的NOS检测缓冲液。

➢ 再加入100微升检测反应液, 轻轻混匀。

➢ 37°C细胞培养箱内孵育20-60分钟或20-120分钟。具体孵育时间因不同的刺激和不同的细胞而不同, 需自行摸索。

➢ 直接取该96孔板用荧光酶标仪检测。以没有细胞的孔为空白对照, 激发波长为495nm, 发射波长为515nm。由于波长的设置和FITC检测时的波长设置非常接近, 可以直接使用FITC的设置。用激光共聚焦显微镜或流式细胞仪也可以进行检测。

5. 一氧化氮合成酶相对活力的计算: 如果以没有刺激前样品中一氧化氮合成酶的活力为1, 那么刺激后:

样品中一氧化氮合成酶相对活力 = $(RFU_{已刺激} - RFU_{空白}) / (RFU_{未刺激} - RFU_{空白})$

RFU, relative fluorescence unit, 即为实际测定得到的相对荧光强度。

6. 特定一氧化氮合成酶相对活力的计算: 例如检测时加了iNOS的抑制剂, 如果以没有刺激前样品中一氧化氮合成酶的活力为1,

那么刺激后:

样品中iNOS酶相对活力=(RFU_{已刺激} - RFU_(抑制剂+已刺激))/(RFU_{未刺激} - RFU_(抑制剂+未刺激))

7. 如果使用激光共聚焦显微镜或流式细胞仪进行检测,可以参考上述方法进行。

使用本产品的文献:

1. Li MX, Wang YR, Cao JM, Tian GZ, Zhao LH. To Explore the Double - labeling Method of Monitoring the GHRP Regulatory Function on [Ca²⁺]_i and NO on Real Time in Cardiomyocytes Under LSCM. *J Med Res.* 2007 Aug;36(8):22-5.
2. Cao X, You QD, Li ZY, Guo QL, Shang J, Yan M, Chern JW, Chen ML. Design and synthesis of 7-alkoxy-4-heteroaryl-amino-3-quinolone carbonitriles as dual inhibitors of c-Src kinase and nitric oxide synthase. *Bioorg Med Chem.* 2008 Jun 1;16(11):5890-8.
3. Cao X, You QD, Li ZY, Liu XR, Xu D, Guo QL, Shang J, Chern JW, Chen ML. The design, synthesis and biological evaluation of 7-alkoxy-4-heteroaryl-amino-3-cyanoquinolines as dual inhibitors of c-Src and iNOS. *Bioorg Med Chem Lett.* 2008 Dec 1;18(23):6206-9.
4. Zhao F, Wang L, Liu K. In vitro anti-inflammatory effects of arctigenin, a lignan from *Arctium lappa* L., through inhibition on iNOS pathway. *J Ethnopharmacol.* 2009 Apr 21;122(3):457-62.
5. Xiong J, Lu H, Lu K, Duan Y, An L, Zhu C. Cadmium decreases crown root number by decreasing endogenous nitric oxide, which is indispensable for crown root primordia initiation in rice seedlings. *Planta.* 2009 Sep;230(4):599-610.
6. Xue L, Xu F, Meng L, Wei S, Wang J, Hao P, Bian Y, Zhang Y, Chen Y. Acetylation-dependent regulation of mitochondrial ALDH2 activation by SIRT3 mediates acute ethanol-induced eNOS activation. *FEBS Lett.* 2012 Jan 20;586(2):137-42.
7. Zhuang XY, Zhang W, Pang XF, Wu WB, Qu WJ. Combined effect of total flavonoids from seed residues of *Hippophae rhamnoides* L. and zinc on advanced glycation end products-induced endothelial cell dysfunction. *Food Chemistry.* 2012 Aug;133(3):906-11.
8. Song S, Zhou F, Chen WR, Xing D. PDT-induced HSP70 externalization up-regulates NO production via TLR2 signal pathway in macrophages. *FEBS Lett.* 2013 Jan 16;587(2):128-35.
9. Kang H, Liu M, Fan Y, Deng X. A potential gravity-sensing role of vascular smooth muscle cell glycocalyx in altered gravitational stimulation. *Astrobiology.* 2013 Jul;13(7):626-36.
10. Wang H, Xiao W, Niu Y, Jin C, Chai R, Tang C, Zhang Y. Nitric oxide enhances development of lateral roots in tomato (*Solanum lycopersicum* L.) under elevated carbon dioxide. *Planta.* 2013 Jan;237(1):137-44.
11. Chen J, Zhang HQ, Hu LB, Shi ZQ. Microcystin-LR-induced phytotoxicity in rice crown root is associated with the cross-talk between auxin and nitric oxide. *Chemosphere.* 2013 Sep;93(2):283-93.
12. Yao J, Pan D, Zhao Y, Zhao L, Sun J, Wang Y, You QD, Xi T, Guo QL, Lu N. Wogonin prevents lipopolysaccharide-induced acute lung injury and inflammation in mice via peroxisome proliferator-activated receptor gamma-mediated attenuation of the nuclear factor-kappaB pathway. *Immunology.* 2014 Oct;143(2):241-57.
13. Zhou Y, Chen S, Ding R, Yao W, Gao X. Inflammatory modulation effect of glycopeptide from *Ganoderma capense* (Lloyd) Teng. *Mediators Inflamm.* 2014;2014:691285.
14. Tong L, Chen T, Chen Z, Zhang P, Pi H, Ruan H, Wu J. Anti-inflammatory activity of omphalocarpin isolated from *Radix Toddaliae Asiaticae*. *J Ethnopharmacol.* 2014 Sep 29;155(3):1553-60.
15. Zhu W, Yang B, Fu H, Ma L, Liu T, Chai R, Zheng Z, Zhang Q, Li G. Flavone inhibits nitric oxide synthase (NOS) activity, nitric oxide production and protein S-nitrosylation in breast cancer cells. *Biochem Biophys Res Commun.* 2015 Mar 13;458(3):590-5.
16. Jiang ZS, Pu ZC, Hao ZH. Carvacrol protects against spinal cord injury in rats via suppressing oxidative stress and the endothelial nitric oxide synthase pathway. *Mol Med Rep.* 2015 Oct;12(4):5349-54.
17. Zhan R, Han Q, Zhang C, Tian Z, Zhang J. Toll-Like receptor 2 (TLR2) and TLR9 play opposing roles in host innate immunity against *Salmonella enterica* serovar Typhimurium infection. 2015 Apr; 83(4):1641-9.
18. Li P, Zhang L, Zhang M, Zhou C, Lin N. Uric acid enhances PKC-dependent eNOS phosphorylation and mediates cellular ER stress: A mechanism for uric acid-induced endothelial dysfunction. *Int J Mol Med.* 2016 Apr;37(4):989-97.
19. Kuang DB, Zhou JP, Yu LY, Zeng WJ, Xiao J, Zhu GZ, Zhang ZL, Chen XP. DDAH1-V3 transcript might act as miR-21 sponge to maintain balance of DDAH1-V1 in cultured HUVECs. *Nitric Oxide.* 2016 Nov 30;60:59-68.
20. Liu X, Li J, Peng X, Lv B, Wang P, Zhao X, Yu B. Geraniin Inhibits LPS-Induced THP-1 Macrophages Switching to M1 Phenotype via SOCS1/NF-kB Pathway. *Inflammation.* 2016 Aug;39(4):1421-33.
21. Shi SH, Yang WT, Huang KY, Jiang YL, Yang GL, Wang CF, Li Y. β -glucans from *Coriolus versicolor* protect mice against *S. typhimurium* challenge by activation of macrophages. *Int J Biol Macromol.* 2016 May;86:352-61.
22. Liu X, Cai Y, Zhang X, Zhang H, Zheng X, Zhang Z. Carbamoyl Phosphate Synthetase Subunit MoCpa2 Affects Development and Pathogenicity by Modulating Arginine Biosynthesis in *Magnaporthe oryzae*. *Front Microbiol.* 2016 Dec 19;7:2023.
23. Zeng Y, Liu J. Role of glypican-1 in endothelial NOS activation under various steady shear stress magnitudes. *Exp Cell Res.* 2016 Nov 1;348(2):184-189.
24. Chen Q, Tong Q, Ge H, Li W, Liu J, Wang Y, Guo Z, Quan F, Zhang Y. Identification of SP110 in horse (*Equus caballus*): Isolation of novel splice variants and evidence of activation effects on macrophages. *Tuberculosis (Edinb).* 2016 Dec;101:85-94.

Version 2016.12.08